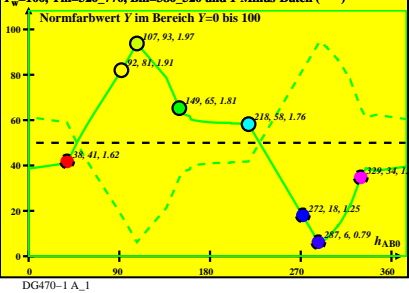
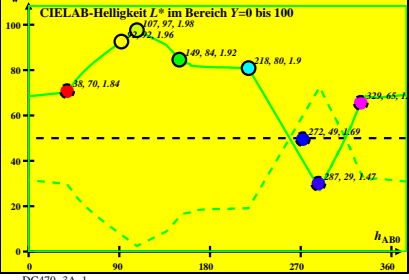


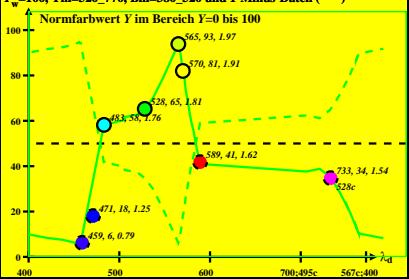
CIE-D65-Daten von -Ostwald-Farben von maximalem Buntwert  $C_{AB}$   
 $Y_w=100$ ,  $Y_m=520\text{--}770$ ,  $Bm=380\text{--}520$  und 1-Minus-Daten (—)



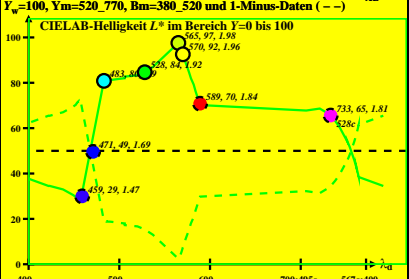
CIE-D65-Daten von -Ostwald-Farben von maximalem Buntwert  $C_{AB}$   
 $Y_w=100$ ,  $Y_m=520\text{--}770$ ,  $Bm=380\text{--}520$  und 1-Minus-Daten (—)



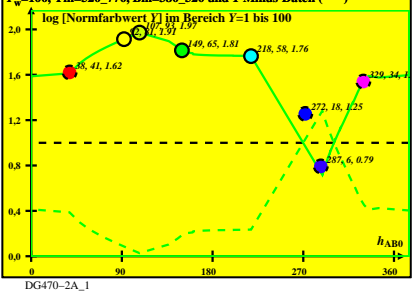
CIE-D65-Daten von -Ostwald-Farben von maximalem Buntwert  $C_{AB}$   
 $Y_w=100$ ,  $Y_m=520\text{--}770$ ,  $Bm=380\text{--}520$  und 1-Minus-Daten (—)



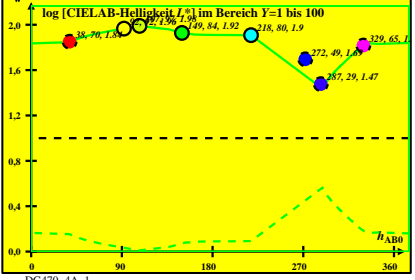
CIE-D65-Daten von -Ostwald-Farben von maximalem Buntwert  $C_{AB}$   
 $Y_w=100$ ,  $Y_m=520\text{--}770$ ,  $Bm=380\text{--}520$  und 1-Minus-Daten (—)



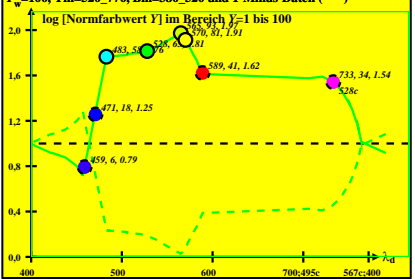
CIE-D65-Daten von -Ostwald-Farben von maximalem Buntwert  $C_{AB}$   
 $Y_w=100$ ,  $Y_m=520\text{--}770$ ,  $Bm=380\text{--}520$  und 1-Minus-Daten (—)



CIE-D65-Daten von -Ostwald-Farben von maximalem Buntwert  $C_{AB}$   
 $Y_w=100$ ,  $Y_m=520\text{--}770$ ,  $Bm=380\text{--}520$  und 1-Minus-Daten (—)



CIE-D65-Daten von -Ostwald-Farben von maximalem Buntwert  $C_{AB}$   
 $Y_w=100$ ,  $Y_m=520\text{--}770$ ,  $Bm=380\text{--}520$  und 1-Minus-Daten (—)



CIE-D65-Daten von -Ostwald-Farben von maximalem Buntwert  $C_{AB}$   
 $Y_w=100$ ,  $Y_m=520\text{--}770$ ,  $Bm=380\text{--}520$  und 1-Minus-Daten (—)

